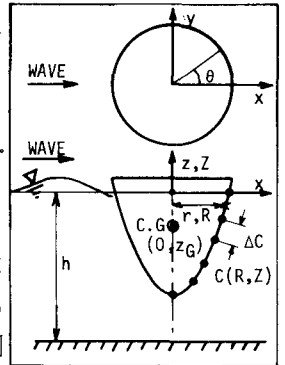


1. まえがき: 鉛直軸まわりの軸対称性を有する任意な固定物体を対象に Fenton¹⁾ は軸対称グリーン関数を用いたポテンシャル的流体力の算定法について明らかにしている。しかしながら Fenton の解析において、グリーン関数並にその法線微分値の特異点における取扱いにさらに検討されるべき余地があり、しかもこれら関数の算定法は実用にあたっては複雑すぎる欠点を有している。このような観点より、本研究では上記 関数の特異点における取扱い並に表式について再検討を加え解析法の確立をはかるとともに浮体の応答問題にまで対応できるように解析法を拡張し、従来の実験結果との比較の上で本解析法の妥当性を検証したものである。

2. 回折波問題の解析法: Fenton により示されているように時間変動項 $e^{-i\omega t}$ を除く回折波ポテンシャル $\phi_D(r, \theta, z)$ は、角度座標 θ に関するフーリエ余弦展開を利用して (1) 式のように表わすことができる。

$$\phi_D(r, \theta, z) = \sum_{\ell=0}^{\infty} \phi_{\ell\ell}(r, z) \cos \ell \theta = \sum_{\ell=0}^{\infty} \frac{1}{2} \int_0^{2\pi} f_{\ell\ell}(R, Z) G_{\ell\ell}(r, z; R, Z) dC(R, Z) \cos \ell \theta \quad (1)$$

ここに $G_{\ell\ell}$ はフーリエモード ℓ の軸対称グリーン関数で、 $f_{\ell\ell}(R, Z)$ はわかき出し強さの分布関数をフーリエ余弦展開したときのフーリエ係数で境界条件により決定される未知関数である。用いた座標系・変数については図-1を参照されたい。



i) $f_{\ell\ell}(R, Z)$ の決定方程式: $f_{\ell\ell}(R, Z)$ は物体表面上の境界条件 $\partial \phi_{\ell\ell} / \partial n + \partial \phi_D / \partial n = 0$ により決定でき、これを各フーリエモードごとの係数方程式で示すのが (2) 式である。

$$\partial \phi_{\ell\ell} / \partial n + \frac{1}{2} \int_0^{2\pi} f_{\ell\ell}(R, Z) \beta_{\ell\ell}(r, z; R, Z) dC(R, Z) = 0 \quad (\ell = 0, 1, 2, \dots) \quad (2)$$

ここに $\phi_{\ell\ell}$ は入射波の速度ポテンシャル ϕ_{ℓ} をフーリエ余弦展開したときのフーリエモード ℓ の係数で、 $\beta_{\ell\ell}$ は $G_{\ell\ell}$ の法線微分値である。なお Fenton は (2) 式の表示において ($r=R, z=Z$) の特異点における式中第 2 項の積分値の一部を分離表示した式を用いているが、彼の解析に見られるように特異点における他の残りの積分値と混同して重複算定する誤りをおかしやすく、本研究では (2) 式のような表示式を採用した。

図-1 座標系および変数

そして各フーリエモード ℓ について (2) 式を解き $f_{\ell\ell}$ が求められると、(1) 式を介して ϕ_D が求まることになる。しかしながら軸対称物体に作用する流力は、 $\ell=0, 1$ の $\phi_{\ell\ell}$ のみで算定することができ、Fenton により報告されているように 3 次元的なわかき出し分布法による解析に比し大きな計算利得が可能となる。

ii) 軸対称グリーン関数の法線微分 $\beta_{\ell\ell}$ の算定法: (2) 式中の $\beta_{\ell\ell}$ は一般的に (3) 式で示されるものである。

$$\beta_{\ell\ell}(r, z; R, Z) = \frac{\partial}{\partial n} (G_{\ell\ell}) = \frac{\partial}{\partial n} (G_{\ell 0} + \sum_{m=1}^{\infty} G_{\ell m}) = \beta_{\ell 0} + \sum_{m=1}^{\infty} \beta_{\ell m} \quad (3)$$

ここに右辺第 1 項は進行波型の、第 2 項は Evanescent mode の波のポテンシャルによる法線方向への流速を示す。そしてこの第 2 項は、($r=R, z=Z$) の条件でいくつかの特異性を示すため取扱いが複雑となる。

Fenton は、(3) 式の右辺第 2 項中の無限級数和を効率よく求めるため (4) 式に示すような方法を用いている。

$$\sum_{m=1}^{\infty} \beta_{\ell m} = \left(\sum_{m=1}^M \beta_{\ell m} - \sum_{m=1}^M \beta_{\ell m}^* \right) + \beta_{\ell \Sigma}^* \quad (4)$$

ここに $\beta_{\ell m}^*$ は M が十分大きいときの $\beta_{\ell m}$ の一般項で、 $\beta_{\ell \Sigma}^*$ は $\beta_{\ell m}$ の無限級数和で解析的に算定できる量である。さらに Fenton は $\beta_{\ell \Sigma}^*$ の中に特異性を示す関数が集約されていることを明らかにし、計 6 個の特異関数 S_i ($i=1 \sim 6$) を抽出している。(5) 式は $\beta_{\ell \Sigma}^*$ に含まれる特異関数の概略を示すものである。

$$\beta_{\ell \Sigma}^* = 1/X + 1/Y + \log X + \log Y \quad (5)$$

ここに X は ($r=R, z=Z$) の条件で 0 に、 Y は ($r=R, z=Z=0$ or $-h$) の条件で 0 となる関数である。

そして Fenton は、(2) 式第 2 項の積分を中点近似法により実行し、特異関数 S_i の積分については線素分 ΔC にわたっての厳密積分を行ない、(3) 式の ΔC にわたる積分値の表示として (5) 式を与えている。

$$\int_{\text{ac}} \beta_{\text{edc}} = \left\{ \beta_{\text{e0}} + \left(\sum_{m=1}^M \beta_{\text{em}} - \sum_{m=1}^M \beta_{\text{em}}^* \right) + (\beta_{\text{eZ}} - \frac{6}{\pi} S_0) \right\} \Delta C + \frac{6}{\pi} \int_{\text{ac}} S_0 S_i dC \quad (6)$$

しかしながら \$S_i\$ について検討してみると、表-1に示すように(5)式の特異関数の各特異点における特異性を集合したもので(6)式の表現は妥当なものとは言えず、算定式の複雑さの原因にもなっている。

したがって本研究では各特異点ごとに対応する \$S_{\text{edc}}\$ の表現を与える方法に修正し、たとえば最もよく適合する特異点 (\$r=R, z=Z \neq 0, -h\$) における(6)式に対応する算定式の概略は(7)式のようになる。

$$\int_{\text{ac}} \beta_{\text{edc}} = \left\{ \beta_{\text{e0}} + \left(\sum_{m=1}^M \beta_{\text{em}} - \sum_{m=1}^M \beta_{\text{em}}^* \right) + (\beta_{\text{eZ}} - \frac{1}{x} - \log X) \right\} \Delta C + \int S_0 dC + \int S_i dC \quad (7)$$

またFentonは(6)式中の項数 \$M\$ について高々20程度を採用すればよいと報告しているが、(4)式の表現からもわかるように \$\beta_{\text{em}}\$ の \$\beta_{\text{em}}^*\$ への近似度合を尺度にして \$M\$ を決定する必要がある。このことを考慮して本研究ではEvanescent mode waveの波数 \$km\$ が \$m\pi/L\$ で十分近似(99%)できるときの \$m\$ の値を \$M\$ として採用することとした。そしてFentonの \$M \approx 20\$ の方法では、 \$h/L \ge 0.5\$ の条件で精度よく波力などの算定ができないことを確認しており、効率よく算定を行なう上からも上記 \$M\$ の決定法は妥当なものと考えられる。

本研究ではグリーン関数 \$G_L\$ についても再検討しているが、上記 \$\beta_e\$ と類似した展開となるため割愛したい。

3. 発散波問題の解析法: 軸対称物体を対象としていることから、運動モードとしてはSurging (\$K=1\$), Heaving (\$K=2\$), Pitching (\$K=3\$) の3つのみを考慮すればよい。そしてこれらの運動に基づく発散波ポテンシャル \$\phi_k^s\$ (\$k=1 \sim 3\$) は(8)式のように表わすことができる。

$$\begin{aligned} \phi_1^s &= \frac{1}{2} \int_0^{\pi} \int_0^{2\pi} G_1(r, z; R, Z) dC \cos \theta, \quad \phi_2^s = \frac{1}{2} \int_0^{\pi} \int_0^{2\pi} H(R, Z) \cdot G_0(r, z; R, Z) dC \\ \phi_3^s &= \frac{1}{2} \int_0^{\pi} \int_0^{2\pi} P(R, Z) G_1(r, z; R, Z) dC \cos \theta \end{aligned} \quad (8)$$

ここに \$S, H, P\$ は各々上記 \$K=1, 2, 3\$ の運動モードに対応するわき出し強さである。そして回折波の表示である(1)式と比較すると \$K=1, 3\$ の場合フーリエモード \$l=1\$ のみで、 \$K=2\$ の場合 \$l=0\$ のみでポテンシャル表示ができる相違点がある。そしてわき出し強さ \$S, H, P\$ は浮体の運動学的な境界条件(9)式により決定される。

$$\frac{\partial \phi_k^s}{\partial n} = U_1 \cdot n r \cos \theta \quad (K=1), \quad U_2 \cdot n z \quad (K=2), \quad U_3 \{ (z-z_0)n - r n_z \} \cos \theta \quad (K=3) \quad (9)$$

ここに \$U_k\$ は各運動モードの運動速度振幅を、 \$n_r, n_z\$ は各々物体の回転曲線 \$C\$ 上における単位法線ベクトルの動径方向、鉛直方向成分である。そして(9)式を解くにあたり、2.1)で述べた \$\beta_{\text{el}}\$ の算定がそのまま採用できる。

4. 算定結果: 本研究では上述した方法に基づき各種の軸対称物体について回折波問題並に発散波問題の解析法を行ない作用波力並びに付加質量係数などを求めた。そしてここにはこれら算定流体力の総合的な評価を与えると考えられる浮体の波浪応答の算定結果について示す。図-2は運輸省港湾技術研究所で行なわれた Discus Buoy の波浪応答についての実験結果²⁾と本研究による算定結果との比較を示すものである。この図より、算定結果は運動モードにかかわらず実験結果の変動傾向をよくあらわしており、本解析法を用いて軸対称物体に作用する流体力並びに波浪応答の算定が行なえるものと言えよう。なお本研究で行なった半球浮体・半潜水円柱についての算定結果は、Garrisonの3次元的なわき出し分布法に基づく算定結果とよく一致していたことを付記しておく。

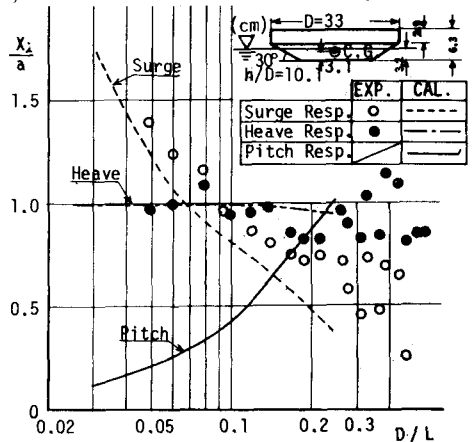


図-2 Discus Buoy の波浪応答に関する実験値と算定値との比較

(参考文献) 1) Fenton, J. D., "Wave forces on vertical bodies of revolution", J. of Fluid Mech., Vol.85, 1978.
2) 谷田良紀他 "波浪風測つて模型実験報告書" 港湾技術研究所 波浪研究要報 No.15, 1977.